

広島大学工学部 正員 細川大
広島県立 正員 ○畠山和也

Ⅰ. まえがき

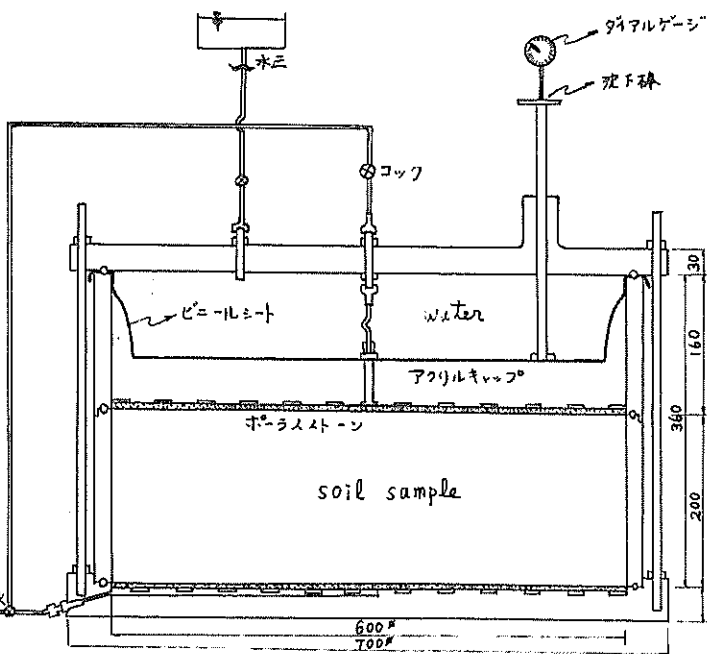
層厚の異なる粘土の圧密 (Terzaghi の圧密理論によれば、層厚の二乗を含む) 時間係数を用いることによって、同じ圧密曲線が得られるはずである。しかし、理論曲線と実測曲線は一般に一致しない。この相違は粘土のレオロジー的性質に起因するもので二次圧密による沈下は一定応力のもとで層厚に比例するという説と、二次圧密飽和といわれた層厚に關係があるとする説があり、あるいは、よりしそうがない。これらの事実から考えると実験室内の薄い試料 (10 mm × 10 mm) と現場の厚い粘土層の沈下観測值とがどのようなく相似則のしきり結びつかないといふことはよくわかつおらず、二次圧密特性の解明とともに圧密沈下に及ぼす層厚の影響に関する研究が重要な課題となる。また、二次圧密は圧密試験のさいの側面摩擦の影響を大きくうけたことを明かにされたり、また、Frictionless の一次元圧密試験を行う事が容易となるなどして二次圧密における相似則の性格を明確にすることは必要である。

そこで本実験においては大きさの異なる4種類の相似圧密試験機を試作し、長期圧密試験を行なう、二次圧密特性および圧密沈下に及ぼす層厚の影響に関する実験を行なう。以下その結果の一端を報告する。

② 試料およびその特性

実験に使用した試料は
広島港理上地より採取して
粘土をふるい分けして後、
10 cm四方の広い蝶々口 1 m
以上にわたり堆積して場所
に投入されたその上に 25 cm
の砂礫土や砂質土を約 5 司
間の長期にわたり圧密せられ
ていつものとある。試料の
特性は、比重 2.67、液性
限界 100%、塑性指数 68%
である。

図 1 $n = 10$ 圧密試験機設計図



③ 実験装置および方法

本実験においては大き
さの異なる4種の相似圧密
試験機を試作した。通常の

標準一軸圧密試験装置から圧密リング高さ 20mm 内径 60mm の圧密試験機に対して、相似比 $n = 1$ (内径 6 cm), 2.4 (内径 14.4 cm), 10 (内径 60 cm), 20 (内径 120 cm) の各試験機を使用した。図 1 に示すよろく $n = 10$ の圧密試験機の載荷装置は水頭室による水压型として、 $n = 20$ の試験機は現在試作途中であるため、 $n = 1$ および $n = 20$ の結果を省略する。

なお、試料採取や実験方法については別途公表する。

4. 実験結果の検討

(a) 二次圧密速度

図 2 は、標準圧密試験機による各荷重段階における長期圧密試験結果を示す。 $\log \sigma$ に対する $\log \frac{d\epsilon}{dt}$ の関係は、二次正直線の直線的傾向である。この結果、二次正直線の勾配 $d\epsilon/d\log t$ は圧密応力に応じて大きくなる。又 $\log \frac{d\epsilon}{dt}$ は $\log t$ に対して直線的である。下記に、本実験で使用した擾乱再圧密粉土の圧密降伏応力は約 0.44 kg/cm^2 である。

各荷重段階について観察すると $\sigma = 0.1 - 0.44 \text{ kg/cm}^2$ については二次に亘るひずみ速度は 10^3 min^{-1} 附近より直線にのるが、その後漸減し最終沈下量に収束する傾向を呈している。 $\Delta\sigma = 0.2 - 0.1 \text{ kg/cm}^2$ についてはも同様の傾向を示し、 10^4 min^{-1} 附近からヒンビひずみ量はみられなくなっている。 $\Delta\sigma = 0.8 - 0.2 \text{ kg/cm}^2$ については $2 \times 10^3 \text{ min}^{-1}$ 附近より直線からの逸脱現象を示している。

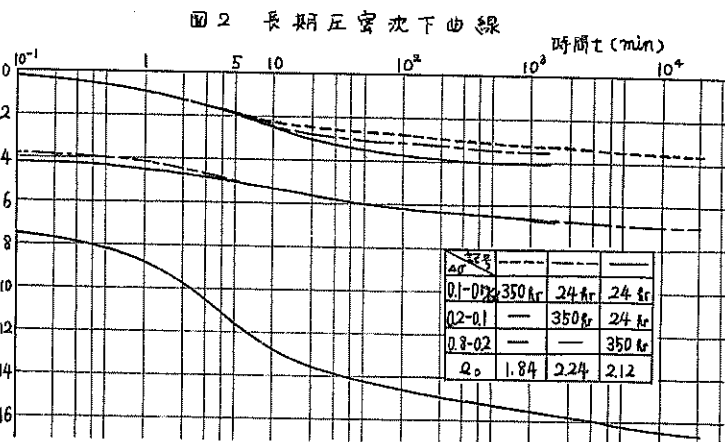
以上の結果、広島粘土の二次圧密勾配は Buismans's secular law に完全には一致せず $\log t$ に直線的沈下及圧縮率は減少し、ゆきりと最終沈下量に達する傾向を示す事がわかる。

(b) アイソタッテ曲線の設定

アイソタッテ理論については Sukelye や三笠の研究があるが、いずれも実験的裏付けがなされていない。また、Sukelye の厚厚の変化を考慮して推定圧密曲線の提案を検討した結果、荷重増加率や載荷応力の点で過圧範囲が限られるなどの問題点があり精度があまり期待出来ない、そのため参考として図 3 に厚さ 20 cm の場合の推定曲線を示すことにとする。

$\eta = 2$ 、厚さ $2h_1 = 2n h_1$ の推定圧密沈下曲線を求めるには Terzaghi's load-compression relationship & Buismans's secular time effect を組合して以下のようして曲線を設定する。

まず圧密沈下曲線より Casagrande 法を用いて l_{100} 、 t_{100} の点を求め Terzaghi's 時間係数 C_D と平均圧密度の関係から反復によつて C_D を決定する。つゞいてこの C_D を用いて排水距離 $n h_1$ のときの任意時間 $t = T(n h_1)^2 / C_D$ を求め、 l_{100} の位置を固定し再び Casagrande 法と標準圧密試験の二次圧密延長線より反復法によつて排水距離 $n h_1$ の時の l_{100} 、 t_{100} を決定する。このよう



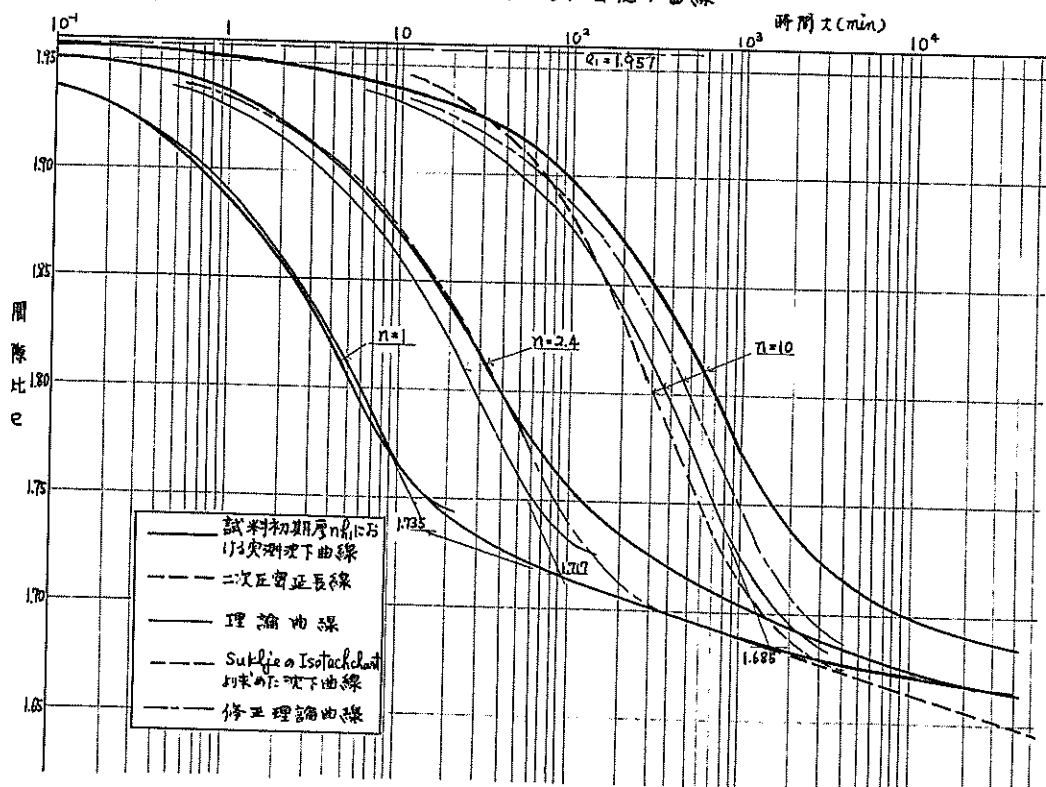
- ・ 1: 2 仕合の層厚に対する推定圧密曲線は図3の細線で示す曲線を表わす。

(C) スケールエフェクトに関する実験結果

図3は標準圧密試験機による実験結果より求めた理論曲線と実測曲線である。下に示す相応の圧密試験結果より得られた実測曲線を太線で示す。図にはN=2.4とN=10の場合に理論曲線と実測曲線は一次圧密部分の圧密時間にみられるかぎりの相違が生じるが、これはTaylor, Bardenなどのレオロジー的研究によれば明らかである。層厚の大きな粘土の圧密には間隙水压が消散するまでに長時間を要し、ワーフォークの二次圧密現象の影響を大きくうけたため時間的遅れが生じるものと考えられる。N=2では二次圧密現象の影響を理論曲線に考慮するため次のようないくさび修正を行なう。すなはち、理論曲線を導くにあたって正密系数Cvとし $Cv = (k_n/2)^2 / \text{大}90$ を用いるが、これは三室による方法で得られた様に一次圧密部分の正縮進度に基づく正密系数の算定式である。實際にはかぎりの二次圧密部分を含むので、二次圧密も含めて正密系数は式で一次圧密比を乗じて補正を行わねばならない。また圧密試験は24時間載荷を一般的に採用しており、24時間圧密沈下量での一次圧密比を考慮して正密系数を用いて修正理論曲線を求め図3の一点錐線に表わす。

$N=2.4$ における実測曲線は一次圧密部分における二次圧密を含んだ Cv を用いた修正理論曲線

図3 スケールエフェクトによる圧密沈下曲線



と非常によく一致した。しかし $n = 10$ の実測曲線は修正理論曲線からも逸脱し大きな層厚の粘土では次圧密結果が大きく作用しかなりの時間的遅れをもたらすことが判明した。

(g) 圧密曲線の形状を観察すると層厚の大きな粘土の圧密実測曲線は一次圧密部の後期から二次圧密部における二次圧密現象は顕著に現われ理論曲線や Terzaghi 曲線のような一次圧密部と二次圧密部の明白な分離の傾向を示していない。これは Banden の非線形モデルを想定して解析した数値解より得た圧密曲線の形状と比較的類似しており意味深く、ひずみ量に関して考察すると、理論曲線とは標準圧密試験結果の二次圧密延長線上にある。すなはち Isotach 現象を推定したもので、実測曲線は $n = 2.4$, $n = 10$ 相当とも一次圧密終了時の排水沈下量はは違っていない。これは長期圧密試験結果の箇所で述べた通り、二次圧密速度 $de/d(\log t)$ は直線的変化を示さず初期段階では折線的変化を呈し、そのため Casagrande 法による d_{100} を決定するための二次圧密部の直線をいかにもとどめ問題がある。この点を考慮して図 3 の実測曲線を観察してみると、 $n = 1$ と $n = 2.4$ のひずみ量は長期間載荷後には $n = 2$ は収束する傾向にある。 $n = 10$ の場合も収束する傾向があるが Isotach 現象を基づいてのことを思われるが、判断するにはより長い長期の結果を観察する必要がある。また、 $n = 20$ の大型試験機によるデータが得られればより深い考察が得られるものと思われる。

(d) Terzaghi の時間係数との比較

スケールエフェクトに関する圧密実験結果を平均圧密度 U と時間係数比 T/T_v を整理してみると図 4 に示す。ここに T_v は Terzaghi による時間係数であり、 $U = 4.2 \times 10^4 \text{ min}^{-1}$ の沈下量を便宜的に最終沈下量として算出したものである。また、図 5 は種々の平均圧密度 U に關し、初期層厚比 $n = H/H_0$ と時間係数比の関係をプロットしたものである。

5. あとがき

スケールエフェクトに関する実験について述べてきたが、本実験はより長期的観察が必要であり、また、 $n = 20$ ($H = 40 \text{ cm}$) の大型試験機が現在試作中である結果に委ねると、より大きく厚い粘土層の圧密沈下がどの程度相似則の範囲に落びつくか議論を出すには至らない。ただし、現時点での傾向は主に次の二点が指摘された。第一に、スケールエフェクトに関する実験の結果 Isotach 現象の妥当性が認められた。すなはち沈下量 U は圧密速度特性を考慮すればある。第二に、圧密時間 t 層厚の増加に伴なつばかりの遅れが生じる。本実験において、 $n = 10$ の場合一次圧密部分における時間係数は Terzaghi 理論によるもの約 1.7 倍近くになった。

図 4 $T/T_v - U$ 曲線

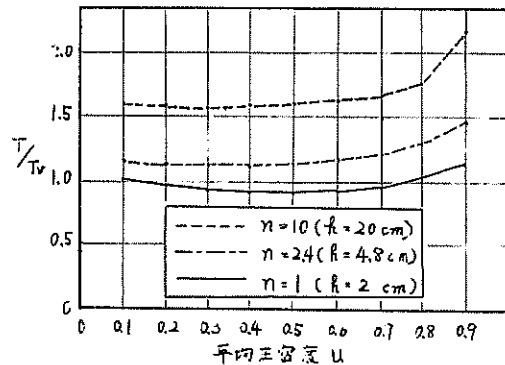


図 5 $n - T/T_v$ 曲線

